

Fundamentos de Robótica

Proyecto Final

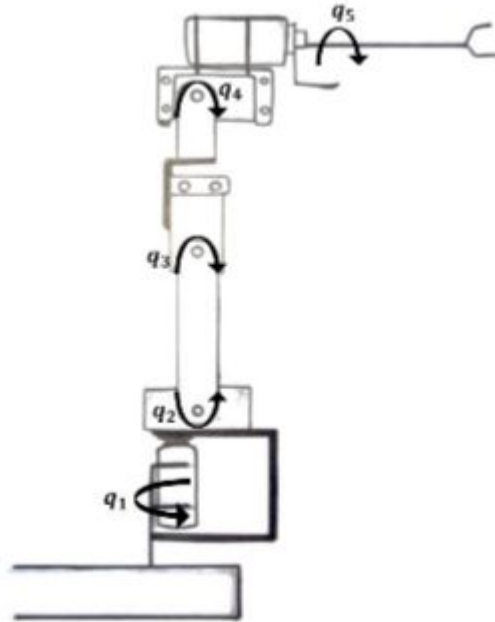
Gustavo Mendoza
Matías Cam
Diego Guevara

Introducción



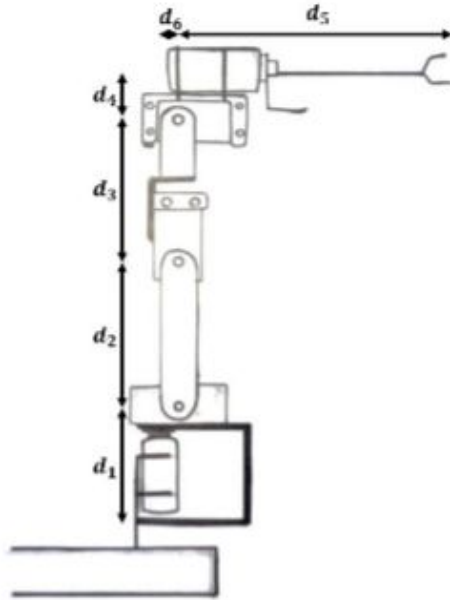
Hemos diseñado un robot manipulador de 5 grados de libertad, que tiene como fin el manipulado de objetos que se encuentren en lugares profundos y angostos. Es por eso que el efector final se encuentra un brazo largo y angosto.

Introducción



5 servomotores AC

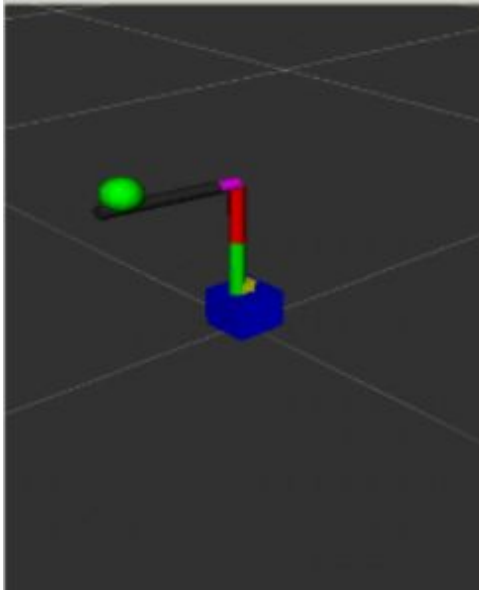
Introducción



Distancia	Longitud (mm)
d_1	70
d_2	105
d_3	97
d_4	30
d_5	160
d_5	10

Valores de las longitudes

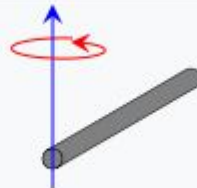
Modelo URDF



Los limites de cada articulación son los siguientes:

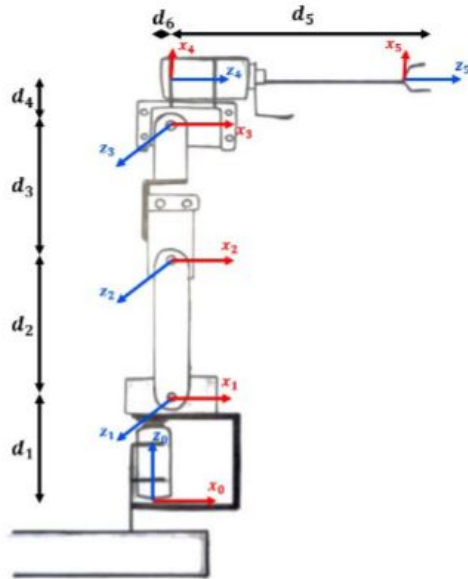
- **joint1**: El limite de velocidad es 0.1 y los limites articulares están entre -3.1 y 3.1
- **joint2**: El limite de velocidad es 0.1 y los limites articulares están entre -1.48 y 1.48
- **joint3**: El limite de velocidad es 0.1 y los limites articulares están entre -1.9 y 1.9
- **joint4**: Es una articulación de tipo continua, por lo que no tiene limites establecidos.

Slender rod along y-axis of length l and mass m about end



$$I = \begin{bmatrix} \frac{1}{3}ml^2 & 0 & 0 \\ 0 & 0 & 0 \\ 0 & 0 & \frac{1}{3}ml^2 \end{bmatrix}$$

Cinemática directa



Sistemas de referencia utilizados

Artic. i	d_i	θ_i	a_i	α_i
1	d_1	q_1	d_6	90°
2	0	$90^\circ + q_2$	d_2	0°
3	0	q_3	d_3	0°
4	0	q_4	d_4	90°
5	d_5	q_5	0	0°

Parámetros de Denavit-Hartenberg

Cinemática directa

Matrices de transformación homogénea ${}^{i-1}T_i$

$${}^0T_1 = \begin{bmatrix} \cos(q_1) & 0 & \sin(q_1) & d_6 \cos(q_1) \\ \sin(q_1) & 0 & -\cos(q_1) & d_6 \sin(q_1) \\ 0 & 1 & 0 & l_1 \\ 0 & 0 & 0 & 1 \end{bmatrix}$$

$${}^1T_2 = \begin{bmatrix} -\sin(q_2) & -\cos(q_2) & 0 & -d_2 \sin(q_2) \\ \cos(q_2) & -\sin(q_2) & 0 & d_2 \cos(q_2) \\ 0 & 0 & 1 & 0 \\ 0 & 0 & 0 & 1 \end{bmatrix}$$

$${}^2T_3 = \begin{bmatrix} \cos(q_3) & -\sin(q_3) & 0 & d_3 \cos(q_3) \\ \sin(q_3) & \cos(q_3) & 0 & d_3 \sin(q_3) \\ 0 & 0 & 1 & 0 \\ 0 & 0 & 0 & 1 \end{bmatrix}$$

$${}^3T_4 = \begin{bmatrix} \cos(q_4) & 0 & \sin(q_4) & d_4 \cos(q_4) \\ \sin(q_4) & 0 & -\cos(q_4) & d_4 \sin(q_4) \\ 0 & 1 & 0 & 0 \\ 0 & 0 & 0 & 1 \end{bmatrix}$$

$${}^4T_5 = \begin{bmatrix} \cos(q_5) & -\sin(q_5) & 0 & 0 \\ \sin(q_5) & \cos(q_5) & 0 & 0 \\ 0 & 0 & 1 & d_5 \\ 0 & 0 & 0 & 1 \end{bmatrix}$$

Cinemática directa

La matriz de transformación homogénea del efector final con respecto a la base bT_e se obtuvo multiplicando todas las matrices ${}^{i-1}T_i$ halladas anteriormente, como se muestra a continuación:

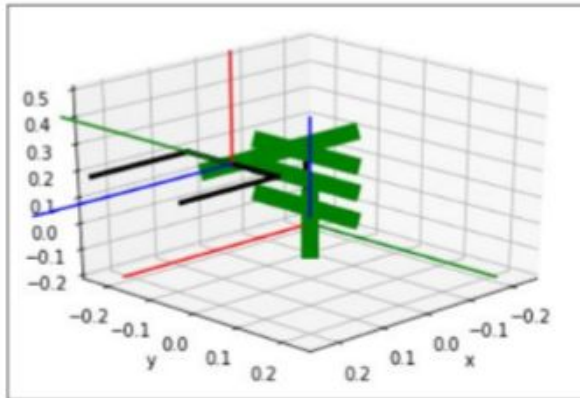
$${}^bT_e = {}^0T_5 = {}^0T_1 {}^1T_2 {}^2T_3 {}^3T_4 {}^4T_5$$

$${}^bT_e = \begin{bmatrix} 0 & 0 & 1 & 0.17 \\ 0 & -1 & 0 & 0 \\ 1 & 0 & 0 & 0.302 \\ 0 & 0 & 0 & 1 \end{bmatrix}$$

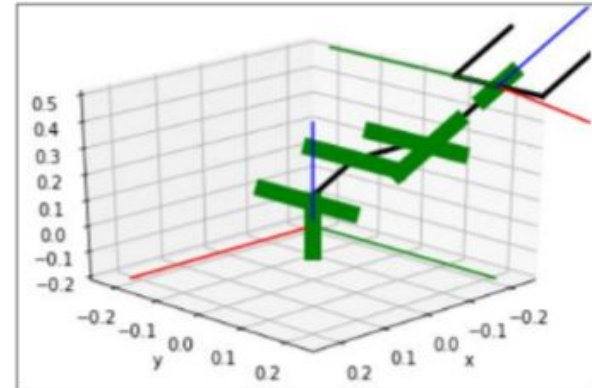
Cinemática directa

Para verificar los resultados obtenidos, se ingresaron los parámetros de Denavit-Hartenberg hallados (Cuadro 2) a un programa de *Python* y con la ayuda de las librerías *serialrobot* y *matplotlib* se graficaron esquemas del robot para diferentes posiciones angulares (si no se especifica, $q_i = 0^\circ$).

- Para: $q_1, q_2, q_3, q_4, q_5 = 0^\circ$



- Para: $q_2 = 45^\circ, q_3 = 45^\circ, q_4 = 45^\circ$.



Cinemática inversa

Modelo de cinemática inversa del robot vía método geométrico

$${}^0T_1 = \begin{bmatrix} \cos(q_1) & 0 & \sin(q_1) & l_6 \cos(q_1) \\ \sin(q_1) & 0 & -\cos(q_1) & l_6 \sin(q_1) \\ 0 & 1 & 0 & l_1 \\ 0 & 0 & 0 & 1 \end{bmatrix}$$

$${}^1T_2 = \begin{bmatrix} -\sin(q_2) & -\cos(q_2) & 0 & -l_2 \sin(q_2) \\ \cos(q_2) & -\sin(q_2) & 0 & l_2 \cos(q_2) \\ 0 & 0 & 1 & 0 \\ 0 & 0 & 0 & 1 \end{bmatrix}$$

$${}^2T_3 = \begin{bmatrix} \cos(q_3) & -\sin(q_3) & 0 & l_3 \cos(q_3) \\ \sin(q_3) & \cos(q_3) & 0 & l_3 \sin(q_3) \\ 0 & 0 & 1 & 0 \\ 0 & 0 & 0 & 1 \end{bmatrix}$$

$${}^bT_e = {}^0T_5 = {}^0T_1 {}^1T_2 {}^2T_3$$

Reemplazando en bT_e las dimensiones del robot (Cuadro 1) y considerando todos los ángulos iguales a cero, se obtiene:

$${}^bT_e = \begin{bmatrix} 0 & -1 & 0 & 0.01 \\ 0 & 0 & -1 & 0 \\ 1 & 0 & 0 & 0.272 \\ 0 & 0 & 0 & 1 \end{bmatrix}$$

Cinemática inversa

Jacobiano geométrico

$$J_1 = \begin{bmatrix} (l_2 \sin(q_2) + l_3 \sin(q_2 + q_3) - l_6) \sin(q_1) \\ (-l_2 \sin(q_2) - l_3 \sin(q_2 + q_3) + l_6) \cos(q_1) \\ 0 \\ 0 \\ 0 \\ 1 \end{bmatrix}$$

$$J_2 = \begin{bmatrix} -(l_2 \cos(q_2) + l_3 \cos(q_2 + q_3)) \cos(q_1) \\ -(l_2 \cos(q_2) + l_3 \cos(q_2 + q_3)) \sin(q_1) \\ -l_2 \sin(q_2) - l_3 \sin(q_2 + q_3) \\ \sin(q_1) \\ -\cos(q_1) \\ 0 \end{bmatrix}$$

$$J_3 = \begin{bmatrix} -l_3 \cos(q_1) \cos(q_2 + q_3) \\ -l_3 \sin(q_1) \cos(q_2 + q_3) \\ -l_3 \sin(q_2 + q_3) \\ \sin(q_1) \\ -\cos(q_1) \\ 0 \end{bmatrix}$$

$$J_4 = \begin{bmatrix} -l_4 \cos(q_1) \cos(q_2 + q_3 + q_4) \\ -l_4 \sin(q_1) \cos(q_2 + q_3 + q_4) \\ -l_4 \sin(q_2 + q_3 + q_4) \\ \sin(q_1) \\ -\cos(q_1) \\ 0 \end{bmatrix}$$

$$J_5 = \begin{bmatrix} -l_5 \sin(q_2 + q_3 + q_4) \cos(q_1) \\ -l_5 \sin(q_1) \sin(q_2 + q_3 + q_4) \\ l_5 \cos(q_2 + q_3 + q_4) \\ \cos(q_1) \cos(q_2 + q_3 + q_4) \\ \sin(q_1) \cos(q_2 + q_3 + q_4) \\ \sin(q_2 + q_3 + q_4) \end{bmatrix}$$

Cinemática inversa

Jacobiano geométrico

Jacobiano completo reemplazando $q_i = 0$ para $i \in [1...5]$

$$\begin{bmatrix} 0 & -l_2 - l_3 & -l_3 & -l_4 & 0 \\ l_6 & 0 & 0 & 0 & 0 \\ 0 & 0 & 0 & 0 & l_5 \\ 0 & 0 & 0 & 0 & 1 \\ 0 & -1 & -1 & -1 & 0 \\ 1 & 0 & 0 & 0 & 0 \end{bmatrix}$$

Cinemática inversa

Jacobiano analítico

$$J_1 = \begin{bmatrix} (l_2 \sin(q_2) + l_3 \sin(q_2 + q_3) + l_4 \sin(q_2 + q_3 + q_4) - l_5 \cos(q_2 + q_3 + q_4) - l_6) \sin(q_1) \\ (-l_2 \sin(q_2) - l_3 \sin(q_2 + q_3) - l_4 \sin(q_2 + q_3 + q_4) + l_5 \cos(q_2 + q_3 + q_4) + l_6) \cos(q_1) \\ 0 \end{bmatrix}$$

$$J_2 = \begin{bmatrix} -(l_2 \cos(q_2) + l_3 \cos(q_2 + q_3) + l_4 \cos(q_2 + q_3 + q_4) + l_5 \sin(q_2 + q_3 + q_4)) \cos(q_1) \\ -(l_2 \cos(q_2) + l_3 \cos(q_2 + q_3) + l_4 \cos(q_2 + q_3 + q_4) + l_5 \sin(q_2 + q_3 + q_4)) \sin(q_1) \\ -l_2 \sin(q_2) - l_3 \sin(q_2 + q_3) - l_4 \sin(q_2 + q_3 + q_4) + l_5 \cos(q_2 + q_3 + q_4) \end{bmatrix}$$

$$J_3 = \begin{bmatrix} -(l_3 \cos(q_2 + q_3) + l_4 \cos(q_2 + q_3 + q_4) + l_5 \sin(q_2 + q_3 + q_4)) \cos(q_1) \\ -(l_3 \cos(q_2 + q_3) + l_4 \cos(q_2 + q_3 + q_4) + l_5 \sin(q_2 + q_3 + q_4)) \sin(q_1) \\ -l_3 \sin(q_2 + q_3) - l_4 \sin(q_2 + q_3 + q_4) + l_5 \cos(q_2 + q_3 + q_4) \end{bmatrix}$$

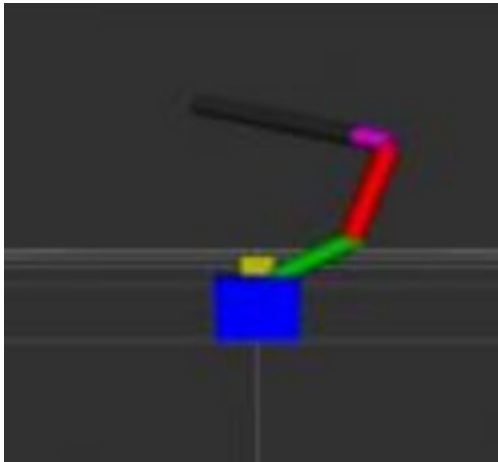
Cinemática inversa

Jacobiano analítico

$$J_4 = \begin{bmatrix} -(l_4 \cos(q_2 + q_3 + q_4) + l_5 \sin(q_2 + q_3 + q_4)) \cos(q_1) \\ -(l_4 \cos(q_2 + q_3 + q_4) + l_5 \sin(q_2 + q_3 + q_4)) \sin(q_1) \\ -l_4 \sin(q_2 + q_3 + q_4) + l_5 \cos(q_2 + q_3 + q_4) \end{bmatrix}$$

$$J_5 = \begin{bmatrix} 0 \\ 0 \\ 0 \end{bmatrix}$$

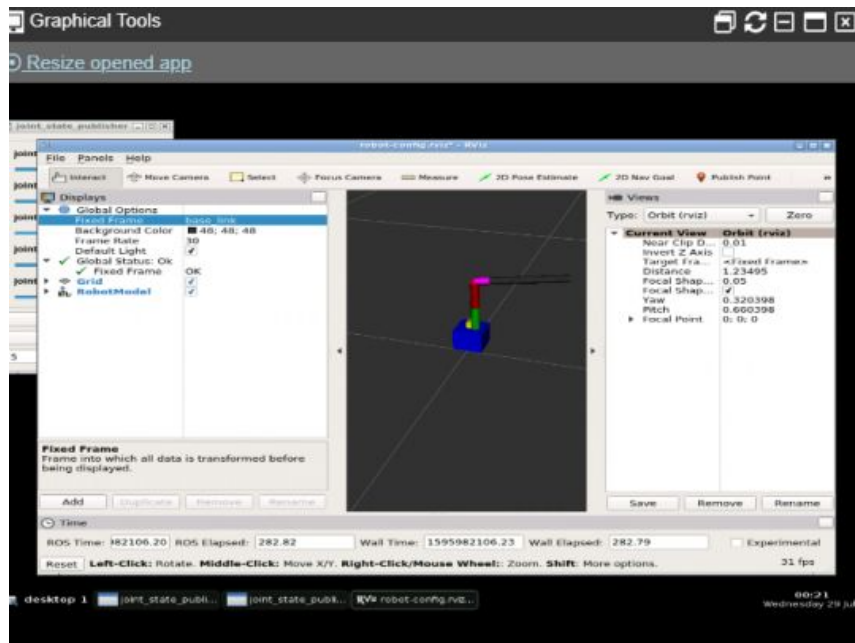
Cinemática inversa



$$\begin{bmatrix} -0.703 & -0.707 & -0.071 & 0.05 \\ -0.703 & 0.707 & -0.071 & 0.05 \\ 0.101 & 0 & -0.995 & 0.05 \\ 0 & 0 & 0 & 1 \end{bmatrix}$$

Control en RViz (video)

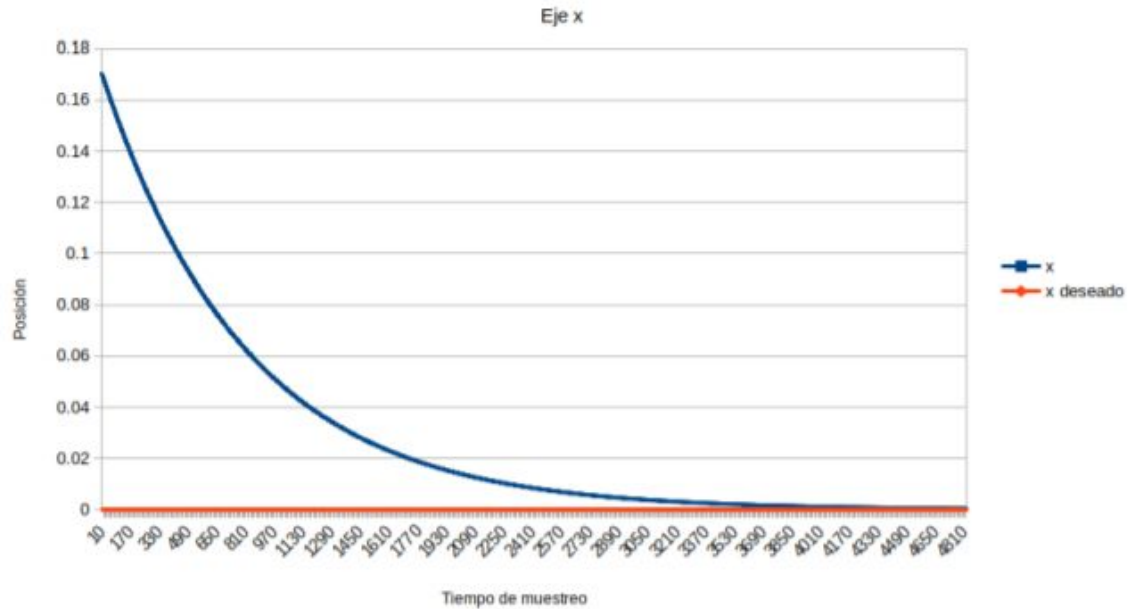
<https://youtu.be/900siPcyEFo>

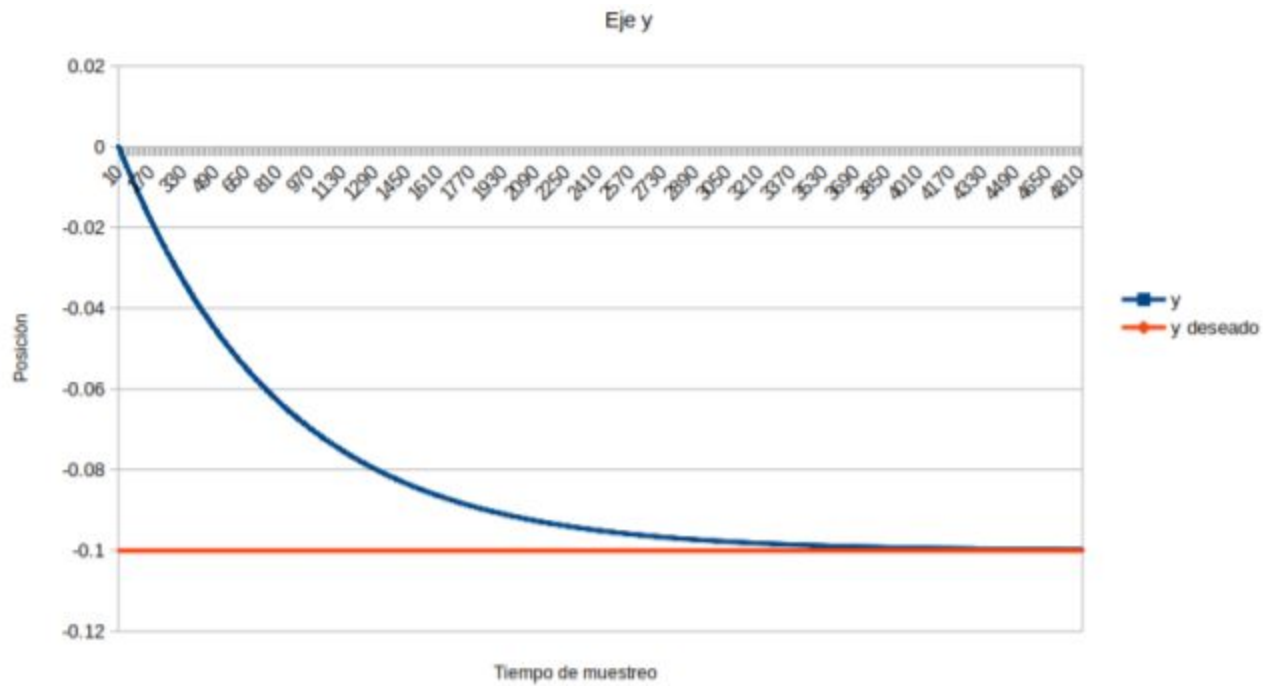


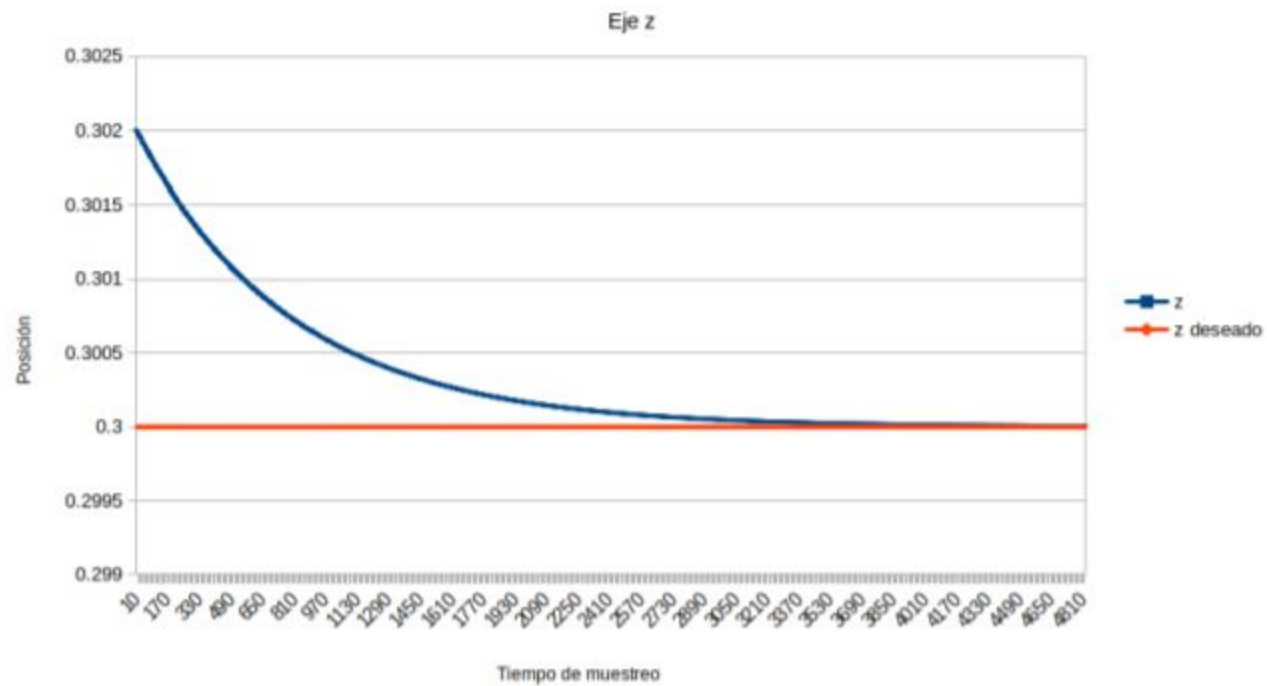
```
$ source /opt/ros/kinetic/setup.bash
$ source /home/user/proyecto_ws/devel/setup.bash
$ echo $ROS_PACKAGE_PATH
user/proyecto_ws/src:/opt/ros/kinetic/share
$ cd proyecto_ws
/proyecto_ws$ cd src
/proyecto_ws/src$ cd proyecto
/proyecto_ws/src/proyecto$ cd src
/proyecto_ws/src/proyecto/src$ ls
l_dinv.py  forward_ki.py  functions.pyc  markers.py
l_kine.py  functions.py   inverse_kine.py markers.pyc
/proyecto_ws/src/proyecto/src$ python -i inverse_kine.py
ined value:\n', array([[ -0.703, -0.707, -0.071,  0.05 ],
[-0.703,  0.707, -0.071,  0.05 ],
[ 0.101,  0. , -0.995,  0.05 ],
[ 0. ,  0. ,  0. ,  1. ]]))

Stopped                                python -i inverse_kine.py
/proyecto_ws/src/proyecto/src$ python -i control_kine.py
ng motion ...
```

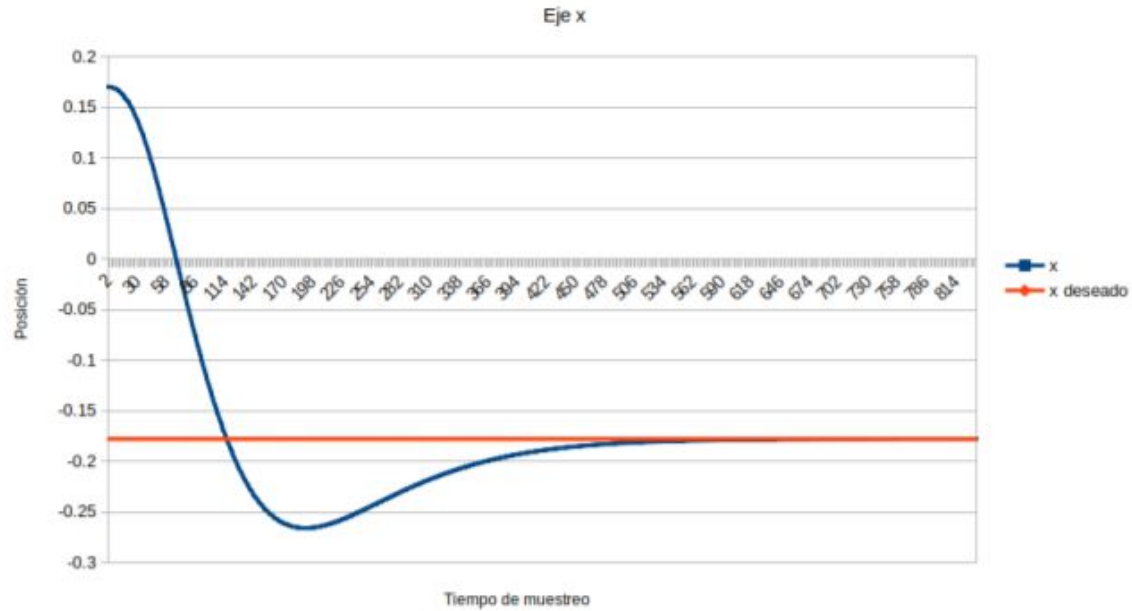

Control cinemático

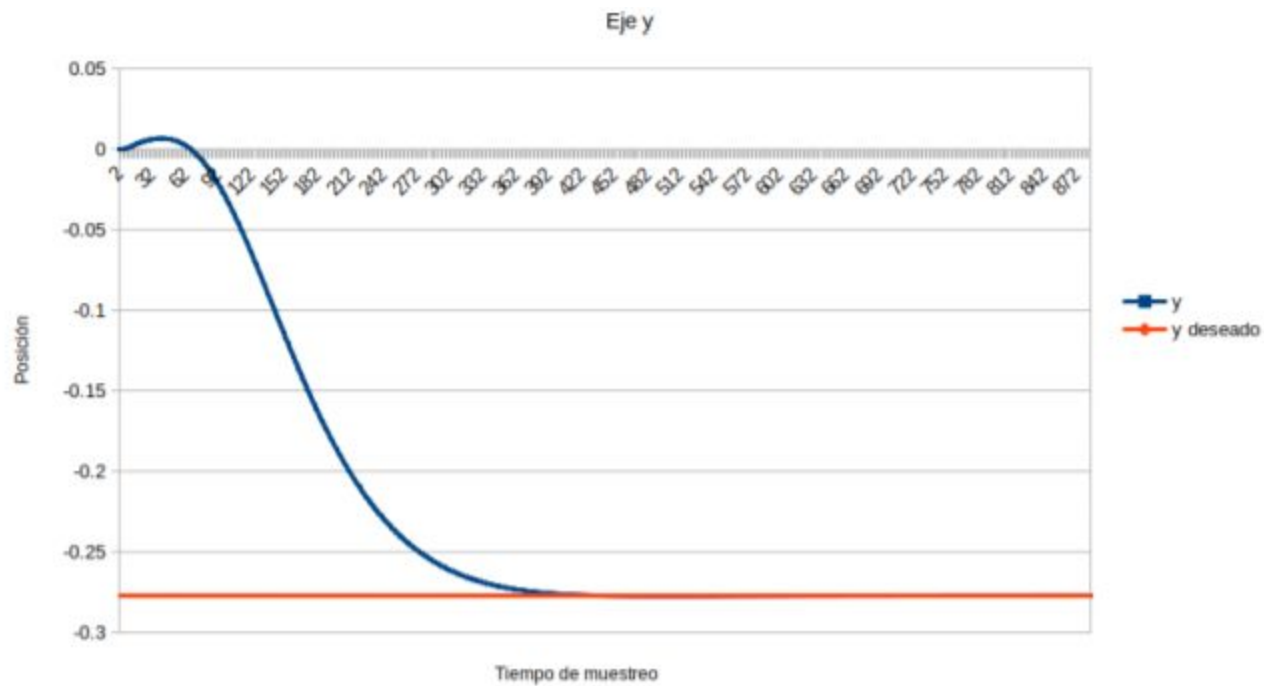


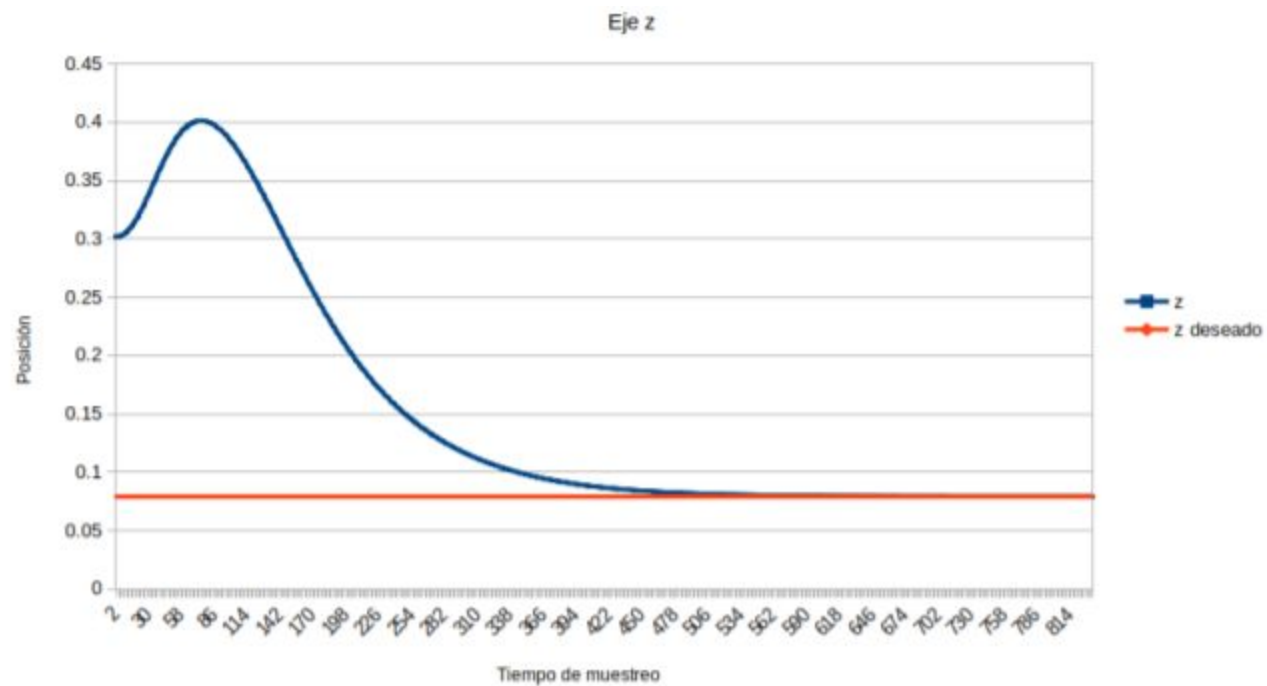




Control dinámico







Gazebo

